テラヘルツ電磁波による $GaAs_{1-x}N_x$ の表面バンドベンディング方向の調査と光変調反射分光法を用いた定量化

竹内日出雄,^A 橋本淳,^B 柳沢淳一,^A 中山正昭 ^B
A 滋賀県立大学工学部電子システム工学科
B 大阪市立大学大学院工学研究科電子情報系専攻

Direction of the surface band bending in $GaAs_{1-x}N_x$ investigated by terahertz electromagnetic wave and its quantification using photoreflectance measurements

H. Takeuchi, A. J. Hashimoto, J. Yanagisawa, and M. Nakayama

Abstract

We have investigated the polarity of terahertz (THz) electromagnetic waves from a $GaAs_{1-x}N_x$ epitaxial layer with x = 0.43 % to clarify the effects of nitrogen incorporation on the direction of the surface band bending. The THz-wave polarity of the $GaAs_{1-x}N_x$ sample is reversed compared with that of an *i*-GaAs/*n*-GaAs sample that has an upward surface band bending; namely, the $GaAs_{1-x}N_x$ sample has a downward band bending. The polarity reversal is attributed to the phenomenon that the conduction band bottom is lowered by the band anticrossing due to the nitrogen incorporation, which changes the direction of the surface band bending. We also measured the photoreflectance (PR) spectrum of the $GaAs_{1-x}N_x$ sample to quantify the surface electric field produced by the surface band bending. The PR spectrum exhibits the Franz-Keldysh oscillations (FKOs) from the $GaAs_{1-x}N_x$ layer. From the FKOs, the surface electric field is estimated to be 24 kV/cm.

1. 序論

 $GaAs_{1-x}N_x$ では、その窒素濃度の関数としてバンドギャップエネルギーが負性ボウイングを示すことが知られている[1]。 $GaAs_{1-x}N_x$ および $In_yGa_{1-y}As_{1-x}N_x$ に関するこれまでの研究で[2,3]、ホスト材料である GaAs と $In_yGa_{1-y}As$ の伝導帯と窒素準位がバンド反交差を起こし、低エネルギー(E_x)サブバンドと高エネルギー(E_x)サブバンドが形成されることが報告されている。これらのうち E_x サブバンドがバンド端に相当し、結果として、バンドギャップエネルギーは、負性ボウイングを示す。

ところで他の化合物半導体のように、 GaAs_{1-x}N_xエピタキシャル層も表面バンドベ ンディングを有すると考えられる。この現象は、表面上に存在する多数の深い準位によって支配される。半導体物性の観点に立てば、表面バンドベンディングに対するる業績があるために、我々は試料から発生するテラヘルツ(THz)電磁波の極性に着目した。化合物半導体は、フェムトが引き金を発っていると表面が上のでは表面を照射されると表面が上がでいる場合、電子は結晶内部(表面)に向かって流れ出す。THz電磁波の電場は、サージ電流の時間微分に比例するので[4]、

^ADepartment of Electronic Engineering Systems, The University of Shiga Prefecture, Shiga, Japan ^BDepartment of Applied Physics, Osaka City University, Sugimoto, Sumiyoshi-ku, Osaka, Japan

電子走行方向の変化は、THz 電磁波の極性 反転を引き起こす。故に THz 電磁波の極性 は、表面バンドベンディングの方向を反映 する。本研究では、アンドープ $GaAs_{1-x}N_x$ (i- $GaAs_{1-x}N_x$)エピタキシャル層(x=0.43%)の THz 電磁波の極性を解析し、表面バンドベンディングの方向を調べた。さらに光変調 反射分光法を用いて、表面バンドベンディングを表面電場として定量化した。

2. 試料および実験方法

本研究で用いた試料は、CrO ドープされた (001)面方位半絶縁性 GaAs (SI-GaAs)結晶と i-GaAs_{1-x}N_x (x = 0.43 %)エピタキシャル層 (層厚: 500nm)である。加えて、参照試料と して i-GaAs(層厚: 200 nm)/ n-GaAs(層厚: 3 μm; ドーピング濃度: 3×10¹⁸ cm⁻³)エピタキ シャル層構造を用いた。i-GaAs/n-GaAs 試料 の伝導帯エネルギーは、表面フェルミ準位 ピニングに起因するポテンシャル勾配を有 しており[5,6], i-GaAs 層内に表面方向の 35 kV/cm の内部電場が形成されている。従っ て, i-GaAs 層内で生成された電子は, n-GaAs 層に向かって走行し、一方、正孔は、i-GaAs 表面に向かって流れる。従って、 i-GaAs/n-GaAs 試料は、THz 電磁波の極性に 対する参照試料として有効である。

THz 電磁波の時間領域信号は、パルス幅70 fs のレーザーパルス光を用いて、大気中室温下で測定された。試料から放射されたTHz 電磁波は、光ゲート法を用いて低温成長 GaAs エピタキシャル層上に形成されたギャップ幅5.0 μm のボウタイ・アンテナによって検出された。ポンプ光とゲート光の強度は、40 mW および4.0 mW であった。一方、それぞれの波長は、ともに800 nm であった。

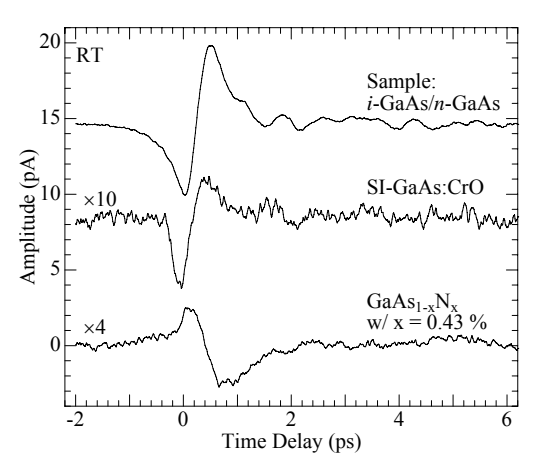


図 1: 遅延時間の関数としてプロットした i-GaAs/n-GaAs, SI-GaAs および GaAs $_{1-x}$ N $_x$ 試料からの THz 電磁波波形。

3. 実験結果と考察

図1は,3つの試料のTHz電磁波波形を示 す。全ての試料は、時間遅延 0 ps において 振動パターン、いわゆる第一バーストを示 す。i-GaAs/n-GaAs 試料の第一バーストは, 3 つの試料の中で最も大きな値を示す。こ れは、サージ電流が発生するのに十分な電 場が存在し、かつ *i*-GaAs 層が十分厚くフリ ーキャリア吸収を抑制するためである[6]。 時間遅延が増加するにつれ, i-GaAs/n-GaAs 試料の THz 電磁波の極性は負から正へと変 化する。これは、SI-GaAs 試料においても 同様である。従って、今回の SI-GaAs 試料 は、上向きのバンドベンディングを有する。 対照的に、GaAs_{1-x}N_x試料の THz 電磁波の極 性は、上記2種類の試料と比べると反転し ている。これは、GaAsi.,N,における光生成 キャリアの走行方向が i-GaAs/n-GaAs 試料 に対して反対であることを示している。従 って $GaAs_{1-x}N_x$ 試料は、下向きの表面バンド ベンディングを有する。これは、窒素添加 により表面バンドベンディングが反転する ことを示している。

次に GaAs_{1-x}N_x 試料における表面バンド

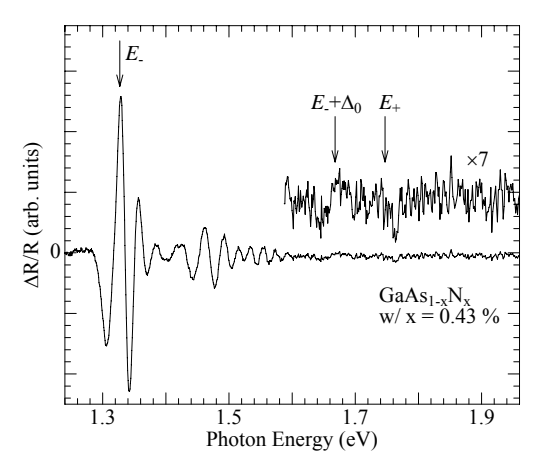


図 2: 室温における GaAs_{l-x}N_x試料からの PR スペ クトル。

ベンディングの反転機構について議論する。 一般に、表面フェルミ準位は、禁制帯中に存在する多数の深い準位に影響される。深い準位の電子波動関数は、原子サイズオーダーで局在する。窒素原子間の平均距離は、x=1%の場合、数十 nm であると見積もられる。加えて、窒素原子の準位は、 伝導帯の底より 226 meV 上に存在する。これらの事実は、窒素添加によって、深い準位の電子波動関数が影響を受けないことを示している。従って、真空準位を基準とした深い準位は、窒素添加に影響されない。

しかしながらバンド反交差モデルに基づけは、窒素添加は、伝導帯に強い影響を与える。バンド反交差モデルによると、GaAsの伝導帯と窒素準位とが強く相互作用する。結果として、母体 GaAs 結晶の伝導帯が E サブバンドと E サブバンドに分裂する。この 2 つのサブバンドのうち E サブバンド端は、結晶表面において、表面フェルミ準位ピニングの原因となる深い準位に近づく。対照的に、熱統計力学によると表面から十分離れた結晶内部では、i- $GaAs_{1-x}N_x$ のフェルミ準位は、禁制帯のほぼ中央に位置する。真空準位を基準としたフェルミ準位は、熱

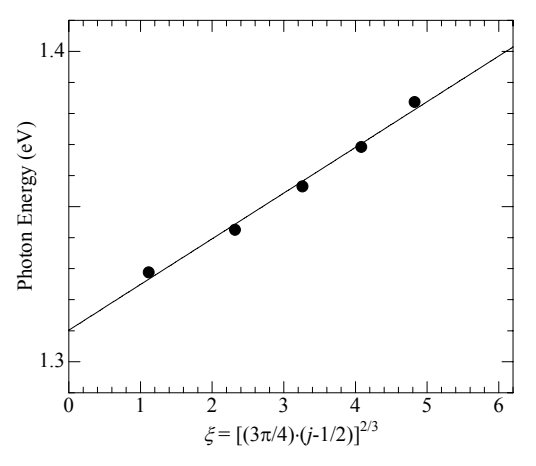


図 3: $GaAs_{1-x}N_x$ 層からの FK 振動の極値のエネルギーを準指数 ξ の関数とした直線プロット。

統計力学によると結晶表面から内部まで均一である。従って、表面において E.サブバンド端が表面フェルミ準位に接近することにより、下向きの表面バンドベンディングが形成される。

以上では、表面バンドベンディングの方 向を議論してきた。ベンディング量をポテ ンシャルバンドの勾配に相当する表面電場 で定量化するために、我々は、GaAs_{1-x}N_x試 料の光変調反射(PR)スペクトルを測定した。 結果を図2に示す。1.327 eV(1.747 eV)にて $E(E_{+})$ とラベルされた矢印の位置は、 Γ 点に おける $E(E_+)$ サブバンドと重い正孔/軽い正 孔バンドの間での遷移エネルギーに対応し, 1.668 eV にて E-+Δ₀ とラベルされた矢印の 位置は、 Γ 点における E サブバンドとスピン スプリットオフ正孔バンド間での遷移エネ ルギーに対応する。ここで E_{-} 、 E_{+} 、と $E_{-}+\Delta_{0}$ のエネルギーは、バンド反交差モデルによ って計算された値である[7]。従って, 1.3 eV から始まる振動パターンは、GaAs_{1-x}N_x層に 起因する Franz-Keldysh (FK)振動に帰属さ れる。一方、1.4 eV から始まる振動パター ンは、GaAs 緩衝層に起因する FK 振動に帰 属される。表面電場を求めるために、図3

に示すように、 $GaAs_{1-x}N_x$ 層からの FK 振動の極値の位置を準指数 $\xi \equiv [(3\pi/4)\cdot(j-1/2)]^{2/3}$ の関数としてプロットした[8]。ここでj は、基礎遷移エネルギーの位置から各極値に対してナンバリングした指数である。図 3 に示される実線の傾きは、表面電場強度に対応する。自由電子質量 m_0 を単位としたバンド間換算質量 $0.0689m_0$ を用いることにより[7]、表面電場は、24 kV/cm であると見積もられる。一般に、i-GaAs 結晶の表面電場は、たかだか数 kV/cm 程度である。今回の結果は、窒素添加が表面電場を増強させることを示している。

4. まとめ

我々は、i-GaAs_{1-x}N_x (x = 0.43 %)エピタキシ ャル層 の表面バンドベンディングを調べ るため、THz 電磁波測定と PR 測定を実施 した。THz 電磁波測定から GaAs_{1-x}N_x 試料の THz 電磁波の極性が SI-GaAs および i-GaAs/n-GaAs 試料の極性と比べて反転し ていることが判明した。この結果は, GaAs_{1-x}N_x試料が下向きの表面バンドベンデ ィングを有することを示している。 GaAs_{1-x}N_x試料における下向きの表面バンド ベンディングの原因は、表面領域における E.サブバンドがバンド反交差により表面フ ェルミ準位に向かってシフトする現象に帰 される。さらに我々は、GaAs_{1-x}N_x試料の表 面電場を見積もるために PR スペクトルに 観測される FK 振動の解析を行った。そし て表面電場強度は、24 kV/cm であるという 結果が得られた。故に我々は、THz 電磁波 測定と PR 測定を組み合わせることが GaAs_{1-x}N_xエピタキシャル層の表面バンドベ ンディングを定量的に調べる上で有効であ ると結論した。

謝辞

本実験に使用した i-GaAs_{1-x}N_x (x = 0.43 %)エピタキシャル層試料は、住友電工株式会社から提供されたものである。ご厚意に感謝の意を表します。

[参考文献]

- [1] For a review, "Dilute III-V Nitride Semiconductors and Material Systems" ed. by A. Erol (Springer, Berlin 2008).
- [2] W. Shan, W. Walukiewics, J. W. Ager III, E. E. Haller, J. F.Geisz, D. J. Friedman, J. M. Olson, and S. R. Kurz, Phys. Rev. Lett. **82**, 1221 (1999).
- [3] W. Shan, W. Walukiewics, K. M. Yu, J. W. Ager III, E. E. Haller, J. F.Geisz, D. J. Friedman, J. M. Olson, S. R. Kurz, C. Nauka, Phys. Rev. B **62**, 4211 (2000).
- [4] P. Gu and M. Tani, "Terahertz Optoelectronics" ed. by K. Sakai (Springer-Verlag, Berlin 2005), pp.63-97.
- [5] H. Takeuchi, Y. Kamo, Y. Yamamoto, T. Oku, M. Totsuka, and M. Nakayama, J. Appl. Phys. **97**, 063708 (2005).
- [6] H. Takeuchi, J. Yanagisawa, T. Hasegawa, and M. Nakayama, Appl. Phys. Lett. **93**, 081916 (2008).
- [7] The calculations for the quantities were performed with use of the equations and parameters in Reference 1, pp.128-129.
- [8] D. E. Aspnes, Phys. Rev. B 10, 4228 (1974).